

実験トランジスタ・アンプ設計講座

黒田 徹

●実用技術編

第10章 回路シミュレータ SPICE 入門 (26)

2SD669AでEL34のカソードを電流駆動する

10月号のOPA604ドライブEL34パワー・アンプ(第1図)は比較的シンプルですが、つぎの欠点があります。

(1) -35Vの安定化電源に3端

子レギュレータが使えない。

(2) 裸の周波数特性が悪い(第2図)。

(3) 出力インピーダンスの周波数特性が悪い(第3図)。

第4図は、2SD669Aを追加してこれらの欠点を除去したアンプです。これはEL34のカソードを定電

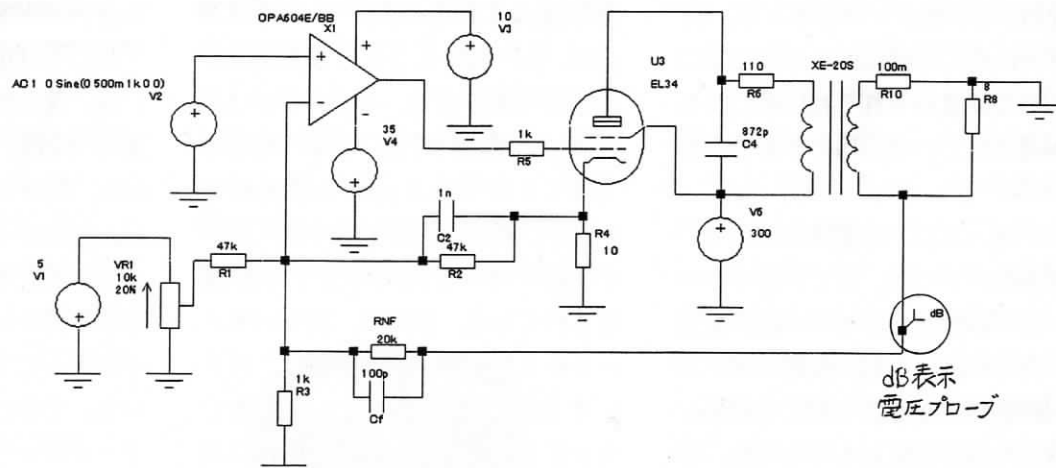
流ドライブするものです。あるいは出力トランジスタ2SD669AにEL34をカスコード接続した回路と解釈することもできます。

いずれにしても出力インピーダンスが非常に高くなるので、出力トランスの2次側から電圧負帰還をかけます。

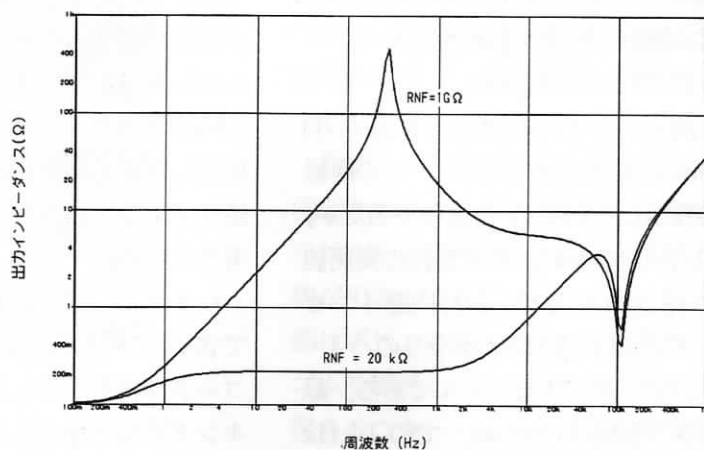
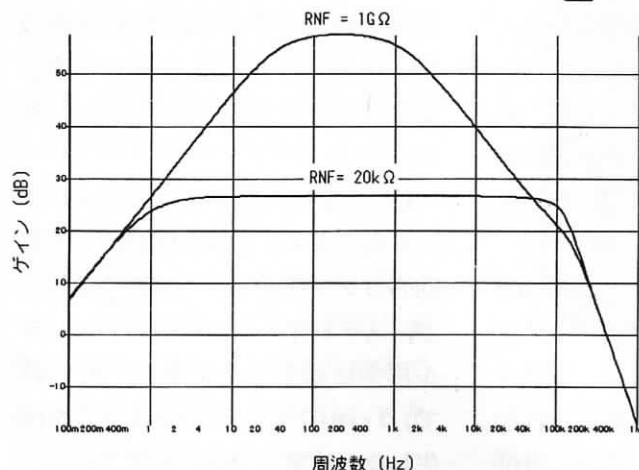
(1) EL34のカソード電流

2SD669Aのエミッタから、OPA604の反転入力に R_2 を介し

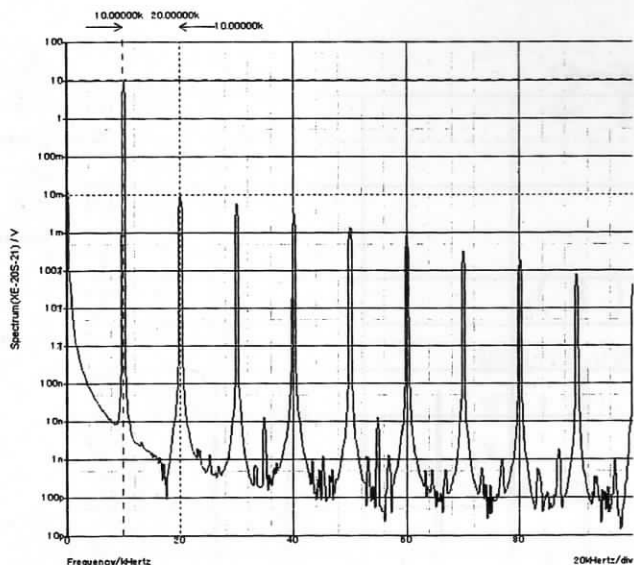
〈第1図〉
2004年10月号に掲載したEL-34シングル・アンプ回路



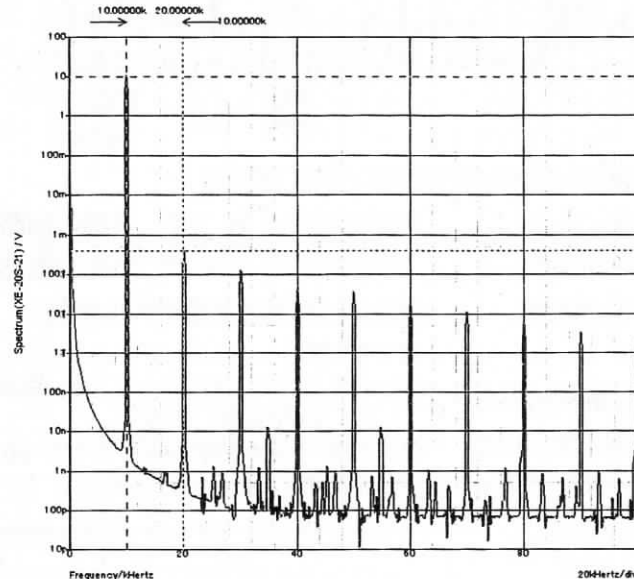
▼〈第2図〉
第1図のアンプの周波数特性



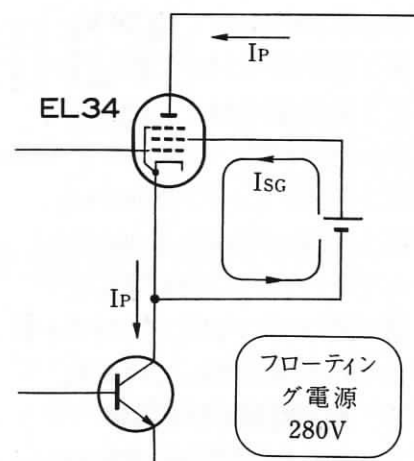
〈第3図〉第1図アンプの出力インピーダンス特性



〈第10図〉
第5図のアンプの
FFT解析結果



〈第12図〉
スクリーン・グリ
ッド電圧を第11
図のフローティ
ング式に変更した
ときの出力電圧の
FFT解析結果



〈第11図〉 EL-34のK~SG間にフローティ
ング電圧源を挿入する

ちスクリーン・グリッド電流を除去
できたならば、

$$I_P(t) \approx I_E(t) \dots\dots\dots (10-77)$$

となるので、EL 34のプレート電流
のひずみ率も極小になるはずで
す。こんなことが可能でしょうか？
それはいろいろな方法で可能です。
たとえばスクリーン・グリッド電
流を検出し、それを電流源でプレ
ート電流に加算すれば、トランス
の1次側コイルに流れる電流は、
ほぼエミッタ電流 I_E に等しく
なります。

しかし、もっと簡単な方法があ
ります。第11図のようにフロー
ティング電源でスクリーン・グリ
ッド電圧を供給すればよいので
す。回路を第11図に変更した
ときのパワー・アンプ出力電圧
のFFT解析結果を、第12図に
示します。

す。

さらに低ひずみに

- (1) スクリーン・グリッド供給電
圧をフローティングして、超低
ひずみ率を得る

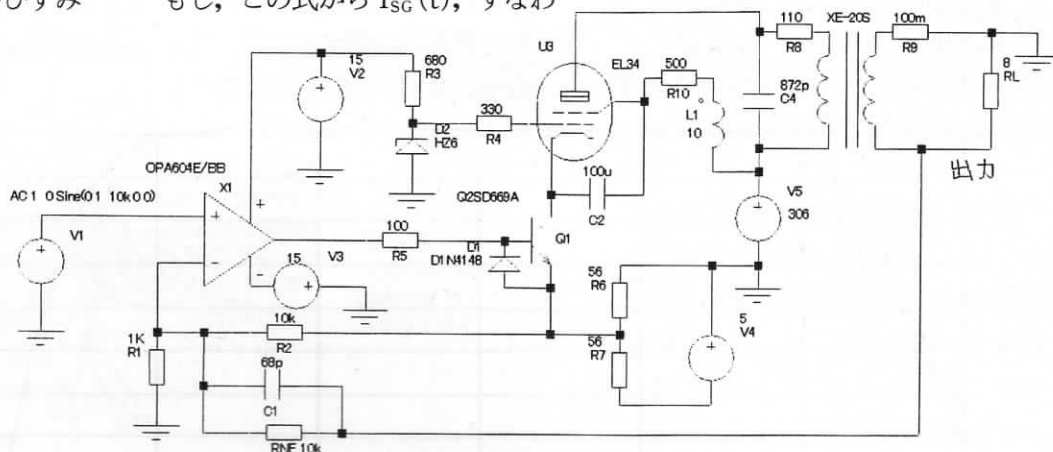
第5図のパワー・アンプのひず
みは、EL 34のスクリーン・
グリッド電流とプレート電流
の比が信号とともに変化
するために生じたものです
(10-75式参照)。

ここで、2SD 669 Aの
エミッタ電流に着目して
ください。第4図から明
らかなように、エミッタ
からオペアンプの反転入
力に強度の電流帰還がか
かっています。

す。したがって、エミッタ電流 I_E
のひずみ率は極小です。
ここで、第4図の回路
のEL 34のプレート電
流 I_P は次式で与えら
れます。

$$I_P(t) \approx I_E(t) - I_{SG}(t) \dots\dots\dots (10-76)$$

もし、この式から $I_{SG}(t)$ 、すなわ



〈第13図〉スクリーン電圧をフローティングした超低ひずみ率EL-34シングル・アンプの最終回路

基本波(10 kHz): 10.26 V

第2調波(20 kHz): 397 μ V

第3調波(30 kHz): 126 μ V

となっています。すなわち、

●第2調波ひずみ率=0.0039%

●第3調波ひずみ率=0.0012%

とシミュレーションされました。

第5図のアンプに比べ、ひずみ率が1/25~1/30に減っています。

(2) 実用回路のひずみ率

フローティング電源は実装がたいへんなので、それと等価な実用回路を第13図に示します。チョーク・コイル $L_1=10$ Hでスクリーン・グリッドを交流的に306 V電源から開放し、 $C_2=100$ μ Fでスクリーン・グリッド〜カソード間を交流的に短絡しています。したがって、EL 34のプレート電流と2SD 669 Aのエミッタ電流の関係は近似的に、

$$I_P(t) \approx I_E(t) - I_{SG}(DC)$$

.....(10-78)

となります。 $R_{10}=500$ Ω は L_1 と C_2 の共振回路のQをダンプします。 R_{10} は L_1 の巻線抵抗で代用できます。

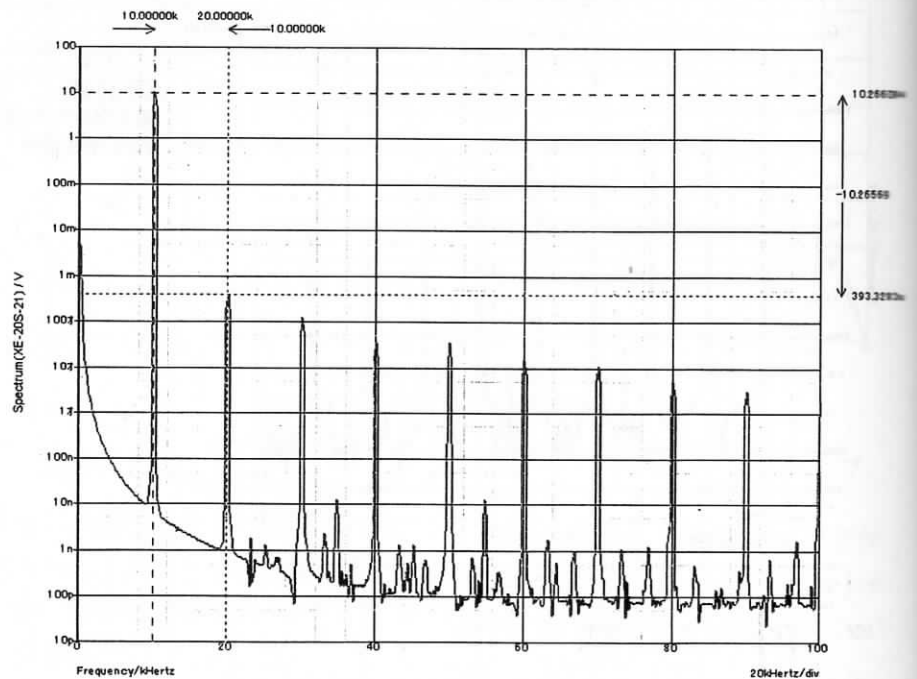
第13図の回路のFFT解析結果を第14図に示します。フローティング電源を用いたときの解析結果(第12図)とほとんど同じです。すなわち、第14図は、

基本波(10 kHz): 10.26 V

第2調波(20 kHz): 393 μ V

第3調波(30 kHz): 123 μ V

となっています。したがって、ひず



〈第14図〉 第13図の回路の出力電圧のFFT解析結果

み率は以下のとおりです。

●第2調波ひずみ率=0.0039%

●第3調波ひずみ率=0.0012%

(3) 周波数特性

第13図の回路のAC解析結果を第15図に示します。 R_{10} を100 Ω にすると5 Hz付近に大きなディップが生じます。 $R_{10}=500$ Ω の場合の周波数特性は、第7図と区別が付きません。

(4) 出力インピーダンス

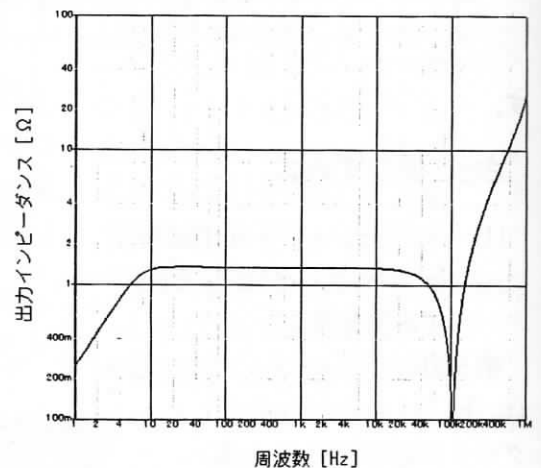
出力インピーダンス対周波数特性を第16図に示します。10 Hz~20 kHz間は約1.3 Ω です。ダンピング・ファクタは約6で、真空管アンプとして標準的な値でしょう。

なお、2SD 669 Aの消費

電力は約2.2 Wです。実際の回路では熱抵抗=15°C/W程度の放熱器を取り付ける必要があります。

◆参考文献

- (1) 拙著「はじめてのトランジスタ回路設計」, CQ出版部, 1999年。
- (2) 拙稿, ラジオ技術 2004年2月号, pp. 157-161.



周波数 [Hz]

▲〈第16図〉
第13図のアンプの
出力インピーダンス
特性

◀〈第15図〉
第13図のアンプの
周波数特性

